

УДК 539.194

Спектр поглощения углекислого газа в диапазоне 4350–4550 см⁻¹

А.А. Маринина, Ю.Г. Борков, Т.М. Петрова, А.М. Солодов,
А.А. Солодов, В.И. Перевалов*

Институт оптики атмосферы им. В.Е. Зуева СО РАН
634055, г. Томск, пл. Академика Зуева, 1

Поступила в редакцию 29.07.2021 г.

Спектр поглощения естественного образца углекислого газа в диапазоне 4350–4550 см⁻¹ был зарегистрирован с помощью Фурье-спектрометра Bruker IFS 125HR, сопряженного с многоходовой 30-метровой газовой кюветой, оснащенной оптической системой Уайта. Регистрация спектра выполнена с разрешением 0,02 см⁻¹ при температуре 301,7 К, давлении газа 306 мбар и длине оптического пути в 1058 м. Достигнута чувствительность, позволившая зарегистрировать спектральные линии с интенсивностью 10⁻²⁸ см⁻¹/(мол. · см⁻²). Измерены центры и интенсивности 453 спектральных линий 17 полос 5 изотополов углекислого газа: ¹²C¹⁶O₂, ¹³C¹⁶O₂, ¹⁶O¹²C¹⁸O, ¹⁶O¹³C¹⁸O и ¹⁶O¹⁷C¹⁷O. Полосы 33303–02201, 41104–02201, 41104–10002 основного изотополога ¹²C¹⁶O₂ и полосы 31103–00001 изотополов ¹³C¹⁶O₂ и ¹⁶O¹²C¹⁸O зарегистрированы впервые. Проведено сравнение измеренных центров и интенсивностей спектральных линий со значениями, представленными в базе данных HITRAN2020.

Ключевые слова: углекислый газ, изотопические модификации, спектр высокого разрешения, параметры спектральных линий, база данных HITRAN2020; carbon dioxide, isotopologue, high resolution spectra, spectral line parameters, HITRAN2020 database.

Введение

Спектральная область 4350–4550 см⁻¹ в районе 2,3 мкм принадлежит одному из окон прозрачности венерианской атмосферы [1]. Это окно прозрачности используется для исследования химического и изотопного состава нижней атмосферы Венеры (25–40 км) на основе спектров, зарегистрированных космическим аппаратом Venus Express [2] и спектрометрами наземного базирования [3]. Поглощение углекислым газом в этой области очень слабое [4]. Однако в связи с тем, что Венера имеет плотную углекислотную атмосферу, информация о параметрах слабых линий поглощения углекислого газа очень важна. Поэтому исследованию спектров поглощения CO₂ в окне прозрачности 2,3 мкм посвящено несколько экспериментальных работ [5–13]. В [5, 8–10] были определены только центры спектральных линий. Другие работы были посвящены исследованию конкретных полос [6, 7] либо диапазон длин волн в них отличался от исследуемого в настоящей работе [11, 13], перекрываясь лишь частично.

В [12] было проведено исследование спектра образца CO₂, обогащенного изотопом кислорода ¹⁷O. Спектроскопическая база данных HITRAN2020 [4] содержит в себе подробную информацию о параметрах спектральных линий углекислого газа и его изотопических модификаций в широком диапазоне длин волн, включая диапазон, исследуемый в настоящей работе. Данные о центрах линий в HITRAN2020 взяты из банка данных CDSD-296 [14], в котором представлены значения, рассчитанные в рамках метода эффективных операторов. Интенсивности спектральных линий для диапазона 4350–4550 см⁻¹ в HITRAN2020 взяты либо из CDSD-296, где они были рассчитаны в рамках метода эффективных операторов, либо из вариационных расчетов, базирующихся на *ab initio* рассчитанной поверхности дипольного момента [15–17]. Полученные параметры слабых спектральных линий нуждаются в экспериментальной проверке, что и стало одной из целей настоящей работы.

Вторая цель — обнаружение магнитно-дипольной полосы 11111–00001 основной изотопической модификации CO₂. Порядок ожидаемой величины интенсивностей спектральных линий этой полосы составляет 10⁻²⁹ см⁻¹/(мол. · см⁻²) при 296 К. Напомним, что впервые магнитно-дипольное поглощение углекислым газом (полоса 01111–00001 основной изотопической модификации) было обнаружено

* Анастасия Александровна Маринина (lukashevskaya@iao.ru); Юрий Геннадьевич Борков (geo@iao.ru); Татьяна Михайловна Петрова (tanja@iao.ru); Александр Михайлович Солодов (solodov@iao.ru); Александр Александрович Солодов (asolodov@iao.ru); Валерий Иннокентьевич Перевалов (vip@iao.ru).

в спектрах марсианской атмосферы [18, 19], а затем исследовалось в лабораторных условиях [20, 21].

1. Эксперимент

Спектр поглощения углекислого газа был зарегистрирован в диапазоне 4350–4550 см⁻¹ Фурье-спектрометром Bruker IFS 125HR, сопряженным с многоходовой 30-метровой газовой кюветой, оснащенной оптической системой Уайта [22]. Регистрация спектра выполнена с разрешением 0,02 см⁻¹ при температуре 301,7 К и давлении газа 306 мбар. Длина оптического пути составила 1058 м. Использовался естественный образец CO₂ с чистотой 99,9%. Перед напуском газа из спектрометра был откачен воздух до остаточного давления 0,02 мбар с помощью форвакуумного насоса. Спектрометр был укомплектован вольфрамовым источником излучения, InSb-приемником, охлаждаемым жидким азотом, и CaF₂-светофильтром. Давление углекислого газа измерялось датчиком Vacuuubrand DVR-5 capacitance manometer (полная шкала 1100 мбар) с погрешностью 1 мбар. Температура измерялась тремя термометрами, помещенными в разных частях кюветы. Неопределенность измерения температуры оценивается в 0,2 К. Для увеличения отношения сигнала к шуму было проведено усреднение 9800 интерферограмм и использовался интерференционный фильтр с узкой полосой пропускания. Была достигнута чувствительность по коэффициенту поглощения на уровне 10⁻⁹ см⁻¹, что позволило зарегистрировать спектральные линии с интенсивностью на уровне 10⁻²⁸ см⁻¹/(мол. · см⁻²).

2. Определение параметров спектральных линий

Для идентификации спектральных линий использовалась база данных HITRAN2020. Кроме спектральных линий углекислого газа и его изотопических модификаций были идентифицированы спектральные линии молекул водяного пара, метана и зеокси азота. С помощью интенсивностей линий из базы данных HITRAN2020 были определены относительные концентрации примесей: H₂O – 2,8 · 10⁻⁴%, CH₄ – 1,6 · 10⁻⁷%, N₂O – 2,6 · 10⁻⁶%. Отметим, что в исследуемом спектральном диапазоне расположена сильнейшая полоса 2v₃ молекулы зеокси азота. На основе центров 31 линии этой полосы молекулы N₂O была произведена калибровка зарегистрированного спектра; точность калибровки относительно линий N₂O без учета сдвига давлением углекислого газа составила 0,00032 см⁻¹. С учетом

того, что давление исследуемого образца было достаточно высоким (306 мбар), у линии может быть достаточно большой сдвиг. Мы не располагаем информацией о сдвигах линий полосы 2v₃ молекулы зеокси азота давлением углекислого газа. В HITRAN2020 показаны примерно одинаковые сдвиги линий полосы 2v₃ молекулы N₂O и полос CO₂ в исследуемом диапазоне давлением воздуха. Исходя из этого, мы предположили, что в диапазоне 4350–4550 см⁻¹ сдвиги линий полосы 2v₃ молекулы N₂O давлением CO₂ и полос CO₂ собственным давлением примерно одинаковые. В частности, измеренный коэффициент сдвига линий собственным давлением для полосы 20013–00001 углекислого газа лежит в пределах –0,006 и –0,008 см⁻¹ · атм⁻¹ при 296 К [23]. Это дает нам основание полагать, что точность определения центров линий в нашем случае не хуже 0,003 см⁻¹.

Параметры спектральных линий были определены их подгонкой к экспериментальному спектру контуром Фойгта с рассчитанным значением доплеровской полуширины. Вклад в спектр примесей моделировался с помощью базы данных HITRAN2020. Для первичной обработки спектра использовался пакет программ OPUS 6.5 (<https://www.bruker.com/products/infrared-near-infrared-and-raman-spectroscopy/opus-spectroscopy-software.html>). Он позволил убрать влияние фильтра на спектр. Аподизация была выполнена с помощью функции boxcar. Локальная базовая линия моделировалась с помощью линейной функции от волнового числа. В исследуемом диапазоне длин волн интенсивности линий CO₂ не превышают 10⁻²⁶ см⁻¹/(мол. · см⁻²) при 296 К. Несмотря на очень низкую относительную концентрацию N₂O (2,6 · 10⁻⁶%), находящейся в образце в качестве примеси, ее линии доминируют в спектре (рис. 1), что значительно затрудняет определение параметров спектральных линий углекислого газа и ведет к их большой неопределенности. Всего было идентифицировано ~ 2400 линий различных изотопических модификаций CO₂. В связи с большой неопределенностью восстановленных параметров слабых спектральных линий в настоящей работе мы публикуем результаты только для наиболее сильных линий с интенсивностями от 10⁻²⁸ до 10⁻²⁶ см⁻¹/(мол. · см⁻²) при 296 К.

В табл. 1 дана информация о полосах углекислого газа, исследованных в настоящей работе, а также представлены источники, в которых ранее изучались некоторые из этих полос. В табл. 2 приведены параметры спектральных линий, которые были измерены впервые. Неопределенности интенсивностей спектральных линий в табл. 2 связаны с ошибками моделирования. Ошибки измерения давления и температуры дают вклад в неопределенность интенсивности, не превышающий 1%.

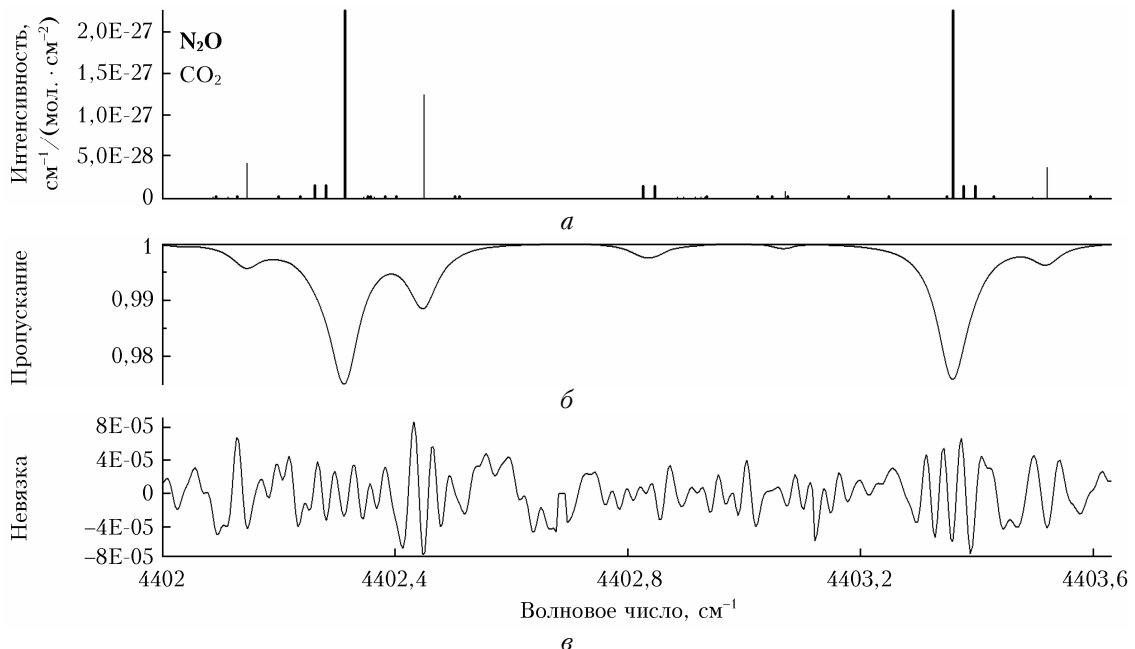


Рис. 1. Диаграмма интенсивностей линий молекулы CO_2 , исследованных в настоящей работе, и линий молекулы N_2O , взятых из базы данных HITRAN2020 [4] (а); экспериментальный спектр поглощения молекулы CO_2 в диапазоне $4402\text{--}4403,6 \text{ см}^{-1}$ (б); невязки модельного и экспериментального спектров (в)

Таблица 1

Идентифицированные полосы и центры линий CO_2 , зарегистрированных в настоящей работе в спектральном диапазоне $4350\text{--}4550 \text{ см}^{-1}$, для которых определены интенсивности

Изотополог	Полоса	ΔP^*	Центр полосы**, cm^{-1}	Число линий	J^{***} для полос $P/Q/R$	Предыдущие исследования	
						центр линий v	интенсивности линий S
$^{12}\text{C}^{16}\text{O}_2$	31103–00001	7	4591,12	11	52–72/–/–	[5], [6], [11]	[6], [11]
	31104–00001	7	4416,15	83	12–68/4–44/2–68	[5], [7], [10], [13]	[7], [13]
	32203–01101	7	4578,08	21	38–64/–/–	[5], [6]	[6]
	32204–01101	7	4379,88	55	19–43/–/6–44	[13]	[13]
	33303–02201	7	4567,58	5	26–36/–/–		
	40004–01101	7	4529,87	44	17–59/8–36/3–25	[5], [6]	[6]
	40005–01101	7	4354,97	24	–/20,26/5–49	[10], [13]	[13]
	41104–02201	7	4495,67	2	–/–/26,28		
	41104–10002	7	4545,39	8	22–42/–/–		
	41105–10002	7	4353,10	10	–/–/14–36		
$^{13}\text{C}^{16}\text{O}_2$	31103–00001	7	4527,28	20	22–50/–/16–28		
$^{16}\text{O}^{12}\text{C}^{18}\text{O}$	11111–00001	6	4346,18	9	–/–/7–30		
	31103–00001	7	4504,91	22	28–37/–/11–48		
	31104–00001	7	4339,82	2	–/–/22,27		
$^{16}\text{O}^{13}\text{C}^{18}\text{O}$	00021–00001	6	4508,75	101	1–53/–/0–55	[5], [9], [12]	[12]
	01121–01101	6	4485,59	10	19–29/–/–	[8], [12]	[12]
$^{16}\text{O}^{13}\text{C}^{17}\text{O}$	00021–00001	6	4524,88	25	9–28/–/8–30	[5], [8], [12]	[12]

* $\Delta P = P_{\text{upper}} - P_{\text{lower}}$; $P = 2V_1 + V_2 + 3V_3$, где V_i ($i = 1, 2, 3$) – главные колебательные квантовые числа.

** Приближенные значения центров полос.

*** Значения квантового числа полного углового момента для наблюдавшихся линий каждой из ветвей.

Таблица 2

Экспериментальные значения центров и интенсивностей впервые наблюдавшихся спектральных линий CO_2 в диапазоне $4350\text{--}4550 \text{ см}^{-1}$

Линия	$v, \text{ см}^{-1}$	$S \cdot 10^{28}, \text{ см}^{-1}/(\text{мол.} \cdot \text{см}^{-2})$, при 296 К	Неопределенность $S, \%$
1	2	3	4
$^{12}\text{C}^{16}\text{O}_2 (626)$			
33303–02201 $P\ 28e$	4546,1212	1,20	10,1
33303–02201 $P\ 31f$	4543,8771	1,37	28,9

Окончание табл. 2

1	2	3	4
$^{12}\text{C}^{16}\text{O}_2$ (626)			
33303–02201 <i>P</i> 34e	4541,6455	0,652	14,8
33303–02201 <i>P</i> 35f	4540,9030	0,855	7,9
33303–02201 <i>P</i> 36e	4540,1578	0,989	12,1
41104–02201 <i>R</i> 26e	4515,5505	0,72	31,2
41104–02201 <i>R</i> 28e	4516,9207	0,59	17,1
41104–10002 <i>P</i> 22e	4528,0068	2,30	21,4
41104–10002 <i>P</i> 28e	4523,1851	2,11	5,6
41104–10002 <i>P</i> 30e	4521,5704	2,01	15,0
41104–10002 <i>P</i> 32e	4519,9521	2,45	3,6
41104–10002 <i>P</i> 34e	4518,3336	2,35	1,8
41104–10002 <i>P</i> 38e	4515,0771	2,03	7,6
41104–10002 <i>P</i> 40e	4513,4438	1,65	3,7
41104–10002 <i>P</i> 42e	4511,8049	1,33	5,4
$^{13}\text{C}^{16}\text{O}_2$ (636)			
31103–00001 <i>P</i> 22e	4510,0891	2,47	7,4
31103–00001 <i>P</i> 26e	4506,9598	2,04	3,0
31103–00001 <i>P</i> 30e	4503,8225	2,30	4,7
31103–00001 <i>P</i> 32e	4502,2529	2,37	2,5
31103–00001 <i>P</i> 34e	4500,6806	2,29	2,2
31103–00001 <i>P</i> 36e	4499,1080	2,12	7,2
31103–00001 <i>P</i> 38e	4497,5324	1,82	6,4
31103–00001 <i>P</i> 40e	4495,9590	1,65	3,6
31103–00001 <i>P</i> 42e	4494,3815	1,36	5,1
31103–00001 <i>P</i> 46e	4491,2175	0,951	3,0
31103–00001 <i>P</i> 48e	4489,6307	1,03	5,3
31103–00001 <i>P</i> 50e	4488,0487	0,692	11,9
31103–00001 <i>R</i> 6e	4532,7366	0,824	16,6
31103–00001 <i>R</i> 10e	4535,8615	1,95	13,3
31103–00001 <i>R</i> 12e	4537,4162	2,73	12,4
31103–00001 <i>R</i> 14e	4538,9727	3,36	5,9
31103–00001 <i>R</i> 18e	4542,0868	4,88	5,7
31103–00001 <i>R</i> 20e	4543,6403	4,42	5,2
31103–00001 <i>R</i> 22e	4545,1975	6,19	4,8
31103–00001 <i>R</i> 28e	4549,8407	7,15	7,9
$^{16}\text{O}^{12}\text{C}^{18}\text{O}$ (628)			
31103–00001 <i>P</i> 28e	4484,0244	0,757	5,2
31103–00001 <i>P</i> 35e	4478,7194	0,603	5,4
31103–00001 <i>P</i> 37e	4477,1930	0,642	5,2
31103–00001 <i>R</i> 11e	4513,6870	0,731	16,0
31103–00001 <i>R</i> 12e	4514,4172	1,32	10,4
31103–00001 <i>R</i> 13e	4515,1396	1,12	5,3
31103–00001 <i>R</i> 18e	4518,7582	2,03	18,7
31103–00001 <i>R</i> 19e	4519,4809	2,38	10,6
31103–00001 <i>R</i> 20e	4520,2036	1,91	9,7
31103–00001 <i>R</i> 23e	4522,3585	2,02	2,8
31103–00001 <i>R</i> 25e	4523,7882	2,57	8,4
31103–00001 <i>R</i> 26e	4524,5067	2,16	6,3
31103–00001 <i>R</i> 28e	4525,9381	2,26	26,1
31103–00001 <i>R</i> 29e	4526,6450	1,97	5,0
31103–00001 <i>R</i> 30e	4527,3578	2,09	6,7
31103–00001 <i>R</i> 34e	4530,1991	2,31	17,0
31103–00001 <i>R</i> 35e	4530,9031	2,30	12,3
31103–00001 <i>R</i> 37e	4532,3175	1,61	6,6
31103–00001 <i>R</i> 39e	4533,7177	1,33	5,6
31103–00001 <i>R</i> 40e	4534,4229	1,20	5,9
31103–00001 <i>R</i> 45e	4537,9122	0,926	16,9
31103–00001 <i>R</i> 48e	4539,9967	0,670	21,8

3. Сравнение с базой данных HITRAN2020

Как мы уже отмечали во введении, параметры спектральных линий углекислого газа, представле-

ные в базе данных HITRAN2020 для исследуемого диапазона, были получены полуэмпирическими и теоретическими расчетами. На рис. 2 приведено сравнение измеренных в настоящей работе центров спектральных линий со значениями, представленными в HITRAN2020.

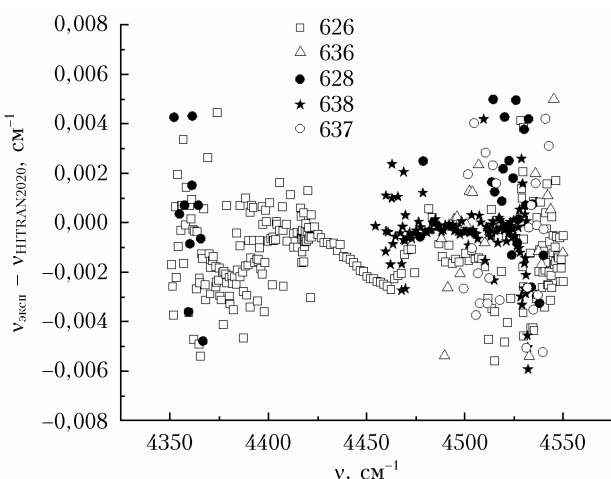


Рис. 2. Разности между измеренными в настоящей работе центрами спектральных линий и значениями из HITRAN2020

Как следует из рис. 2, абсолютное большинство центров линий согласуется в пределах неопределенности $0,003 \text{ см}^{-1}$ измеренных значений. В высокочастотной области спектра ($4480\text{--}5550 \text{ см}^{-1}$) разности достигают $0,006 \text{ см}^{-1}$. Это связано с тем, что в указанной области фильтр сильно ослабляет излучение, приводя к резкому уменьшению отношения сигнала к шуму. При моделировании в этой области неопределенность восстановленных центров линий для очень слабых линий достигает $0,003 \text{ см}^{-1}$. На рис. 3 сравниваются измеренные интенсивности линий со значениями, представленными в базе данных HITRAN2020. Видно, что относительные разности достигают 40%, они коррелируют с ошибками измерений.

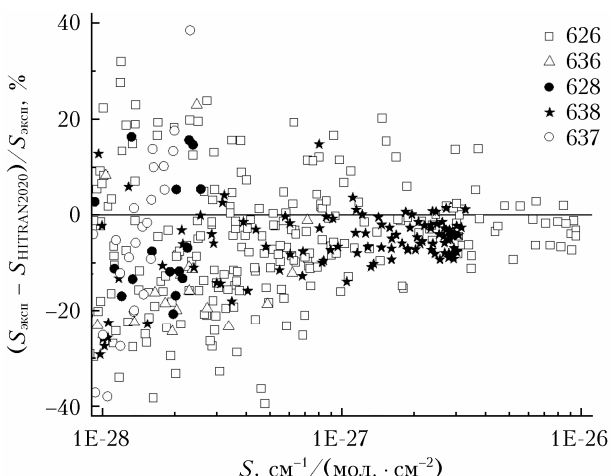


Рис. 3. Сравнение измеренных в настоящей работе интенсивностей спектральных линий со значениями из HITRAN2020

На рис. 4 представлено сравнение измеренных интенсивностей линий для наиболее сильной полосы исследованного диапазона длин волн, а именно полосы 00021–00001, изотопической модификации

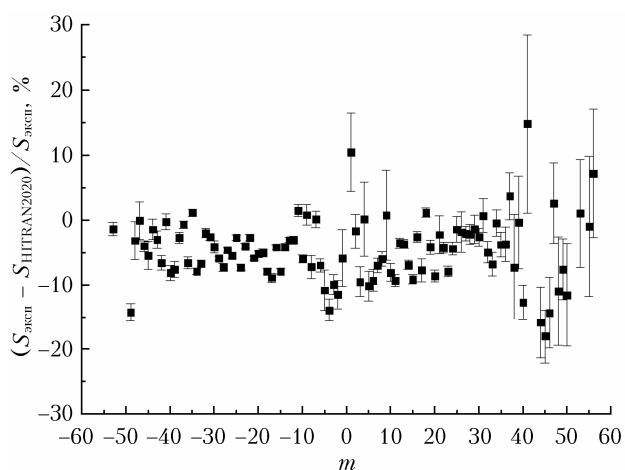


Рис. 4. Сравнение измеренных в настоящей работе интенсивностей спектральных линий со значениями из HITRAN2020 для полосы 00021–00001 изотопической модификации $^{16}\text{O}^{13}\text{C}^{18}\text{O}$

$^{16}\text{O}^{13}\text{C}^{18}\text{O}$. Из рисунка следует, что измеренные интенсивности линий в среднем на 5% меньше значений из HITRAN2020. Однако отметим, что реальных относительных концентраций различных изотопических модификаций в исследуемом образце углекислого газа мы не знаем. Мы предположили, что в образце содержатся изотопические модификации в естественных концентрациях.

Заключение

В настоящей работе проведено экспериментальное исследование спектра естественного образца углекислого газа в диапазоне $4350\text{--}4550 \text{ см}^{-1}$. Чувствительность спектрометра по коэффициенту поглощения составила 10^{-9} см^{-1} . Были измерены центры и интенсивности 453 спектральных линий 17 полос 5 изотопических модификаций углекислого газа с интенсивностями, близкими или превышающими $10^{-28} \text{ см}^{-1}/(\text{мол.} \cdot \text{см}^{-2})$ при 296 К. Центры и интенсивности пяти полос поглощения этой молекулы публикуются впервые. Сравнение измеренных центров линий со значениями, представленными в базе данных HITRAN2020, показывает, что большинство из них совпадает в пределах неопределенности измерений ($0,003 \text{ см}^{-1}$). В связи с тем, что измеренные интенсивности линий очень малы (меньше, чем $10^{-26} \text{ см}^{-1}/(\text{мол.} \cdot \text{см}^{-2})$ при 296 К) и перекрыванием исследуемых линий как с очень сильными линиями засоров азота, присутствующей в образце в качестве примеси, так и с более сильными линиями углекислого газа, эти интенсивности имеют большую неопределенность, вплоть до 30%. Разности измеренных интенсивностей линий и значений из HITRAN2020, лежат практически в пределах экспериментальной неопределенности. Таким образом, существенных противоречий между данными HITRAN2020 и измерениями, проведенными в настоящей работе, не обнаружено.

Отметим, что линии магнитно-дипольной полосы 11111–00001 основного изотополога углекислого газа в настоящей работе не обнаружены. По нашим оценкам, эти линии очень слабые, с интенсивностями на уровне $10^{-29} \text{ см}^{-1}/(\text{мол.} \cdot \text{см}^{-2})$ и меньше при 296 К. Практически все предсказанные центры линий этой магнитно-дипольной полосы находятся под контурами очень сильных линий полосы $2v_3$ молекулы зефира азота или перекрыты более сильными линиями электро-дипольных переходов углекислого газа.

Работа выполнена в рамках государственного задания ИОА СО РАН.

1. *Taylor F.W., Crisp D., Bézard B.* Near-infrared sounding of the lower atmosphere of Venus / S.W. Bouger, D.M. Hunten, R.J. Phillips (eds.) // Venus II: Geology, Geophysics, Atmosphere, and Solar Wind Environment. Tucson: University of Arizona Press, 1997. P. 325–351.
2. *Marcq E., Bézard B., Drossart P., Piccioni G., Reess J.M., Henry F.* A latitudinal survey of CO, OCS, H_2O , and SO_2 in the lower atmosphere of Venus: Spectroscopic studies using VIRTIS-H // *J. Geophys. Res.* 2008. V. 113. P. E00B07.
3. *Marcq E., Encrenaz T., Bézard B., Birlan M.* Remote sensing of Venus' lower atmosphere from ground-based IR spectroscopy: Latitudinal and vertical distribution of minor species // *Planet Space Sci.* 2006. V. 54. P. 1360–1370.
4. *Gordon I.E., Rothman L.S., Hargreaves R.J., Haschemi R., Karlovets E.V., Skinner F.M., Conway E.K., Hill C., Kochanov R.V., Tan Y., Wcislo P., Finenko A.A., Nelson K., Bernath P.F., Birk M., Boudon V., Campargue A., Chance K.V., Coustenis A., Drouin B.J., Flaud J.M., Gamache R.R., Hodges J.T., Jacquemart D., Mlawer E.J., Nikitin A.V., Perevalov V.I., Rotger M., Tennyson J., Toon G.C., Tran H., Tyuterev V.G., Adkins E.M., Baker A., Perrin A., Shine K.P., Smith M.A.H., Tyuterev V.G., Barbe A., Cané E., Császár A.G., Egorov O., Fleisher A.J., Fleurbaey H., Foltynowicz A., Furtenbacher T., Harrison J.J., Hartmann J.M., Horneman V.-M., Huang X., Karman T., Karns J., Kleiner I., Kofman V., Kwabia-Tchana F., Lee T.J., Long D.A., Lukashevskaya A.A., Lyulin O.M., Makhnev V.Yu., Matt W., Massie S.T., Melosso M., Mikhailyko S.N., Mondelain D., Müller H.S.P., Nauenko O.V., Perrin A., Polyansky O.L., Raddaoui E., Raston P.L., Reed Z.D., Rey M., Richard C., Tóbi R., Leéas T.J., Sadiek I., Schwenke D.W., Starikova E., Sung K., Tamassia F., Tashkun S.A., Vander Auwera J., Vasilenko I.A., Vigasin A.A., Villanueva G.L., Vispoel B., Wagner G., Yachmenev A., Yurchenko S.N.* The HITRAN2020 molecular spectroscopic database // *J. Quant. Spectrosc. Radiat. Transfer.* 2021 (в печати).
5. *Mandin J.Y.* Interpretation of the CO_2 absorption bands observed in the Venus infrared spectrum between 1 and $2.5 \mu\text{m}$ // *J. Mol. Spectrosc.* 1977. V. 67. P. 304–321.
6. *Giver L.P., Kshirsagar J., Freedman R.S., Chakerian C.Jr.* Line intensity and position measurements and derived band parameters of the 31103–00001 $^{12}\text{C}^{16}\text{O}_2$ band and its two nearby hot bands // The 5th HITRAN Conf., 23–25 June 1998, Hanscom AFB, Massachusetts. P. 30–31.
7. *Giver L.P., Chakerian Jr.C.* Rovibrational intensities for the (3110)IV–(0000) band of $^{12}\text{C}^{16}\text{O}_2$ at 4416 cm^{-1} // *J. Mol. Spectrosc.* 1999. V. 148. P. 80–85.
8. *Ding Y., Macko P., Romanini D., Perevalov V.I., Tashkun S.A., Teffo J.L., Hu S.M., Campargue A.* High sensitivity cw-cavity ringdown and Fourier transform absorption spectroscopies of $^{13}\text{CO}_2$ // *J. Mol. Spectrosc.* 2004. V. 226. P. 146–160.
9. *Miller C.E., Montgomery M.A., Onorato R.M., Johstone C., McNicholas T.P., Kovacic B., Brown L.R.* Near infrared spectroscopy of carbon dioxide. II. $^{16}\text{O}^{13}\text{C}^{16}\text{O}$ and $^{16}\text{O}^{13}\text{C}^{18}\text{O}$ line positions // *J. Mol. Spectrosc.* 2004. V. 228. P. 355–374.
10. *Garnache A., Liu A., Cerutti L., Campargue A.* Intracavity laser absorption spectroscopy with a vertical external cavity surface emitting laser at $2.3 \mu\text{m}$: Application to water and carbon dioxide // *Chem. Phys. Lett.* 2005. V. 416. P. 22–27.
11. *Toth R.A., Brown L.R., Miller C.E., Malathy Devi V., Benner D.C.* Line strengths of $^{12}\text{CO}_2$: $4540–000 \text{ cm}^{-1}$ // *J. Mol. Spectrosc.* 2006. V. 239. P. 221–242.
12. *Borkov Y.G., Jacquemart D., Lyulin O.M., Tashkun S.A., Perevalov V.I.* Infrared spectroscopy of ^{17}O - and ^{18}O -enriched carbon dioxide: Line positions and intensities in the $3200–4700 \text{ cm}^{-1}$ region. Global modeling of the line positions of the $^{16}\text{O}^{12}\text{C}^{17}\text{O}$ // *J. Quant. Spectrosc. Radiat. Transfer.* 2014. V. 137. P. 57–76.
13. *Vasilchenko S., Konefal M., Mondelain D., Kassi S., Čermák P., Tashkun S.A., Perevalov V.I., Campargue A.* The CO_2 absorption spectrum in the $2.3 \mu\text{m}$ transparency window by high sensitivity CRDS: (I) Rovibrational lines // *J. Quant. Spectrosc. Radiat. Transfer.* 2016. V. 184. P. 233–240.
14. *Tashkun S.A., Perevalov V.I., Gamache R.R., Lamouroux J.* CDSD-296, high-resolution carbon dioxide spectroscopic databank: An update // *J. Quant. Spectrosc. Radiat. Transfer.* 2019. V. 228. P. 124–131.
15. *Zak E., Tennyson J., Polyansky O.L., Lodi L., Zobov N.F., Tashkun S.A., Perevalov V.I.* A room temperature CO_2 line list with *ab initio* computed intensities // *J. Quant. Spectrosc. Radiat. Transfer.* 2016. V. 177. P. 31–42.
16. *Zak E., Tennyson J., Polyansky O.L., Lodi L., Zobov N.F., Tashkun S.A., Perevalov V.I.* Room temperature line lists for CO_2 asymmetric isotopologues with *ab initio* computed intensities // *J. Quant. Spectrosc. Radiat. Transfer.* 2017. V. 203. P. 265–281.
17. *Zak E., Tennyson J., Polyansky O.L., Lodi L., Zobov N.F., Tashkun S.A., Perevalov V.I.* Room temperature linelists for CO_2 symmetric isotopologues with *ab initio* computed intensities // *J. Quant. Spectrosc. Radiat. Transfer.* 2017. V. 189. P. 267–80.
18. *Trokhimovskiy A., Perevalov V., Koralev O., Fedorova A., Olsen K.S., Bertaux J.L., Patrakeev A., Shunkun A., Montmessin F., Lefèuvre F., Lukashevskaya A.* First observation of the magnetic dipole CO_2 absorption band at $3.3 \mu\text{m}$ in the atmosphere of Mars by ExoMars Trace Gas Orbiter ACS instrument // *Astron. Astrophys.* 2020. V. 639. P. A142.
19. *Perevalov V.I., Trokhimovskiy A.Yu., Lukashevskaya A.A., Koralev O.I., Fedorova A.A., Montmessin F.* Magnetic dipole and quadrupole absorption in carbon dioxide // *J. Quant. Spectrosc. Radiat. Transfer.* 2021. V. 259. P. 107408.
20. *Borkov Yu.G., Solodov A.M., Solodov A.A., Perevalov V.I.* Line intensities of the 01111–00001 magnetic dipole absorption band of $^{12}\text{C}^{16}\text{O}_2$: Laboratory measurements // *J. Mol. Spectrosc.* 2021. V. 376. P. 111418.
21. *Fleurbaey H., Grilli R., Mondelain D., Kassi S., Yachmenev A., Yurchenko S.N., Campargue A.* Electric-quadrupole and magnetic-dipole contributions to the $v_2 + v_3$ band of carbon dioxide near $3.3 \mu\text{m}$ // *J. Quant. Spectrosc. Radiat. Transfer.* 2021. V. 266. P. 107558.

22. Ponomarev Yu.N., Solodov A.A., Solodov A.M., Petrova T.M., Naumenko O.V. FTIR spectrometer with 30 m optical cell and its applications to the sensitive measurements of selective and nonselective absorption spectra // J. Quant. Spectrosc. Radiat. Transfer. 2016. V. 177. P. 253–260.
23. Li J., Durry G., Cousin J., Joly L., Parvitte B., Zeniari V. Self-induced pressure shift and temperature dependence measurements of CO₂ at 2.05 μm with a tunable diode laser spectrometer // Spectrochim. Acta. Part A. 2012. V. 85. P. 74–78.

A.A. Marinina, Yu.G. Borkov, T.M. Petrova, A.M. Solodov, A.A. Solodov, V.I. Perevalov. Carbon dioxide absorption spectrum in the 4350–4550 cm⁻¹ region.

The absorption spectrum of a natural sample of carbon dioxide has been recorded in the 4350–4550 cm⁻¹ wavenumber range with a Bruker IFS 125HR spectrometer and a 30 m multipass gas cell with a White-type optical system. The spectrum was recorded with a spectral resolution of 0.02 cm⁻¹ at a pressure of 306 mbar, a temperature of ~301.7 K, and a path length of about 1058 m. That, along with 9800 interferograms, allowed attaining a sensitivity of 10⁻⁹ cm⁻¹. The positions and intensities of 453 spectral lines of 17 bands of 5 carbon dioxide isotopologues (¹²C¹⁶O₂, ¹³C¹⁶O₂, ¹⁶O¹²C¹⁸O, ¹⁶O¹³C¹⁸O, and ¹⁶O¹³C¹⁷O) were measured. The 33303–02201, 41104–02201, and 41104–10002 bands of the principal isotopologue ¹²C¹⁶O₂ and the 31103–00001 band of both ¹³C¹⁶O₂ and ¹⁶O¹²C¹⁸O isotopologues were recorded for the first time. The measured line positions and intensities are compared with the values from the HITRAN2020 database.